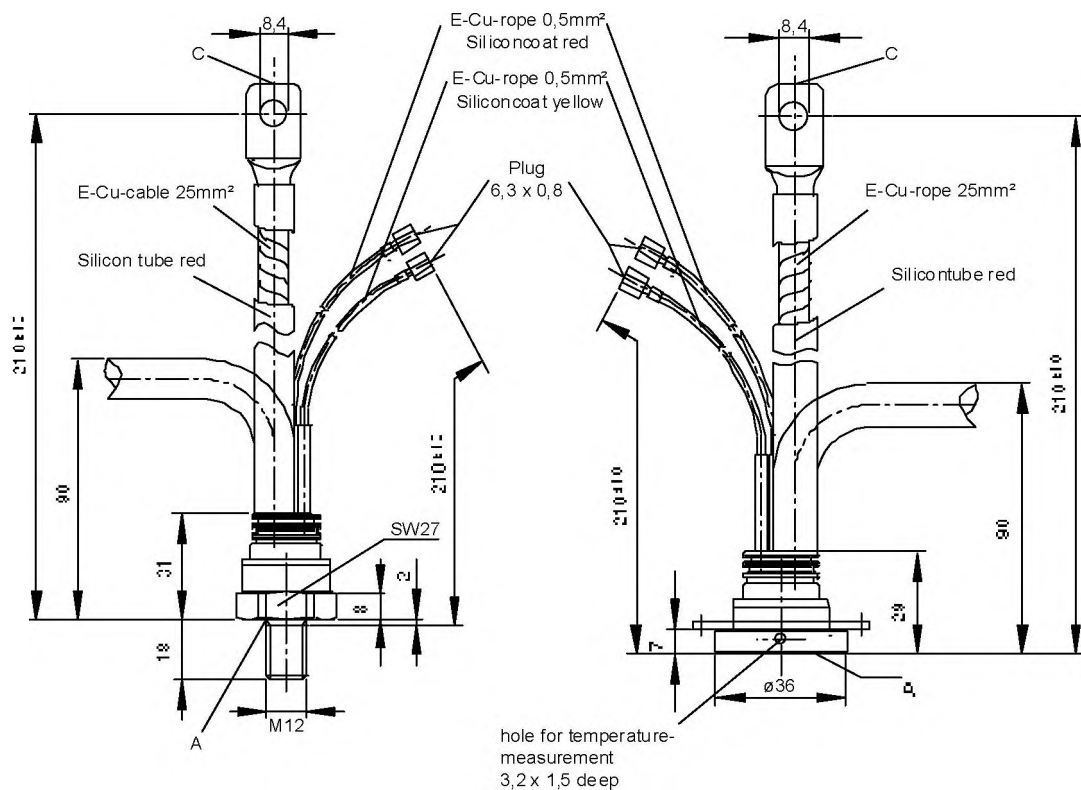


European Power-
Semiconductor and
Electronic Company

Marketing Information T 160 N



T 160 N

Elektrische Eigenschaften		Electrical properties			
<i>Höchstzulässige Werte</i>		<i>Maximum rated values</i>			
Periodische Vorwärts- und Rückwärts-Spitzenperrspannung		repetitive peak forward off-state and reverse voltages	$t_{vj} = -40^{\circ}\text{C} \dots t_{vj\ max}$	V_{DRM}, V_{RRM}	600 800 1000 1200 1400 1600 1800
Vorwärts-Stoßspitzenperrspannung		non-repetitive peak forward off-state voltage	$t_{vj} = -40^{\circ}\text{C} \dots t_{vj\ max}$	$V_{DSM} = V_{DRM}$	600 800 1000 1200 1400 1600 1800
Rückwärts-Stoßspitzenperrspannung		non-repetitive peak reverse voltage	$t_{vj} = +25^{\circ}\text{C} \dots t_{vj\ max}$	$V_{RSM} = V_{RRM}$	700 900 1100 1300 1500 1700 1900
Durchlaßstrom-Grenzeffektivwert		RMS on-state current		I_{TRMSM}	300
Dauergrenzstrom		average on-state current	$t_c = 85^{\circ}\text{C}$ $t_c = 73^{\circ}\text{C}$	I_{TAVM}	160 190
Stoßstrom-Grenzwert		surge current	$t_{vj} = 25^{\circ}\text{C}, t_p = 10 \text{ ms}$ $t_{vj} = t_{vj\ max}, t_p = 10 \text{ ms}$	I_{TSM}	3800 3400
Grenzlastintegral		$I^2 t$ -value	$t_{vj} = 25^{\circ}\text{C}, t_p = 10 \text{ ms}$ $t_{vj} = t_{vj\ max}, t_p = 10 \text{ ms}$	$I^2 t$	72000 58000
Kritische Stromsteilheit		critical rate of rise of on-state current	$v_D \leq 67\%, V_{DRM}, f = 50 \text{ Hz}$	$(di_T/dt)_{cr}$	150
Kritische Spannungssteilheit		critical rate of rise of off-state voltage	$v_L = 10 \text{ V}, i_{GM} = 0,75 \text{ A}, di_G/dt = 0,75 \text{ A}/\mu\text{s}$ $t_{vj} = t_{vj\ max}, v_D = 67\% V_{DRM}$	$(dv/dt)_{cr}$	1000
<i>Charakteristische Werte</i>		<i>Characteristic values</i>			
Durchlaßspannung		on-state voltage	$t_{vj} = t_{vj\ max}, i_T = 600 \text{ A}$	v_T	max. 1,96
Schleusenspannung		threshold voltage	$t_{vj} = t_{vj\ max}$	$V_{T(TO)}$	1,08
Ersatzwiderstand		slope resistance	$t_{vj} = t_{vj\ max}$	I_T	1,53
Zündstrom		gate trigger current	$t_{vj} = 25^{\circ}\text{C}, v_D = 6 \text{ V}$	I_{GT}	max. 150
Zündspannung		gate trigger voltage	$t_{vj} = 25^{\circ}\text{C}, v_D = 6 \text{ V}$	V_{GT}	max. 1,4
Nicht zündender Steuerstrom		gate non-trigger current	$t_{vj} = t_{vj\ max}, v_D = 6 \text{ V}$	I_{GD}	max. 5
Nicht zündende Steuerspannung		gate non-trigger voltage	$t_{vj} = t_{vj\ max}, v_D = 0,5 V_{DRM}$	V_{GD}	max. 0,2
Haltestrom		holding current	$t_{vj} = 25^{\circ}\text{C}, v_D = 6 \text{ V}, R_A = 5 \Omega$	I_H	max. 200
Einraststrom		latching current	$t_{vj} = 25^{\circ}\text{C}, v_D = 6 \text{ V}, R_{GK} \geq 10 \Omega$	I_L	max. 620
Vorwärts- und Rückwärts-Sperrstrom		forward off-state and reverse currents	$i_{GM} = 0,75 \text{ A}, di_G/dt = 0,75 \text{ A}/\mu\text{s}, t_g = 20 \mu\text{s}$	i_D, i_R	max. 30
Zündverzug		gate controlled delay time	$t_{vj} = t_{vj\ max}, V_D = V_{DRM}, v_R = V_{RRM}$	t_{gd}	max. 4,5
Freiwerdezeit		circuit commutated turn-off time	$t_{vj} = 25^{\circ}\text{C}, i_{GM} = 0,75 \text{ A}, di_G/dt = 0,75 \text{ A}/\mu\text{s}$	t_q	typ. 200
Thermische Eigenschaften		Thermal properties			
Innerer Wärmewiderstand		thermal resistance, junction to case	$\Theta = 180^{\circ} \text{ el, sin}$ DC	R_{thJC}	max. 0,15 °C/W max. 0,14 °C/W
Höchstzul.Sperrsichttemperatur		max. junction temperature		$t_{vj\ max}$	125 °C
Betriebstemperatur		operating temperature		$t_{c\ op}$	-40...+125 °C
Lagertemperatur		storage temperature		t_{slg}	-40...+150 °C
Mechanische Eigenschaften		Mechanical properties			
Si-Elemente mit Druckkontakt		Si-pellet with pressure contact			
Anzugsdrehmoment		tightening torque	Gehäuseform/case design B	M	20 Nm
Anpreßkraft		clamping force	Gehäuseform/case design E	F	3,5 kN
Gewicht, Bauform E		weight, case design E		G	typ. 190 g
Kriechstrecke		creepage distance			8 mm
Feuchtekategorie		humidity classification	DIN 40040		C
Schwingfestigkeit		vibration resistance	f = 50 Hz		50 m/s²
Maßbild, anliegend		outlines, attached	DIN 41 894-222A4/DIN 41892-204B3		

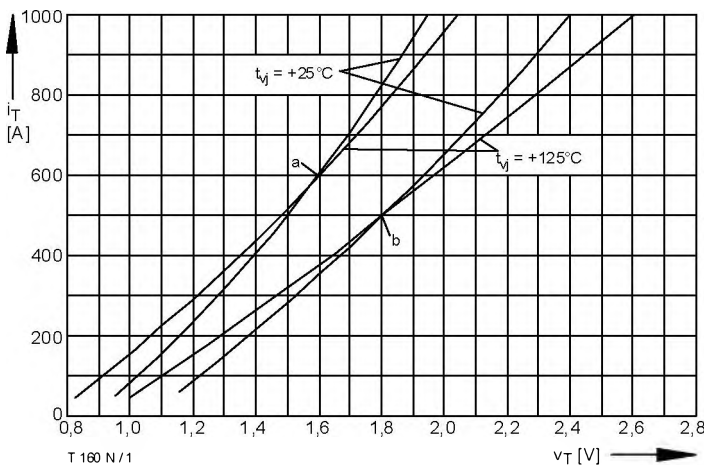


Bild / Fig. 1

Durchlaßkennlinien / On-state characteristics $i_T = f(v_T)$

a - Typische Kennlinien / typical characteristics

b - Grenzkennlinien / limiting characteristics

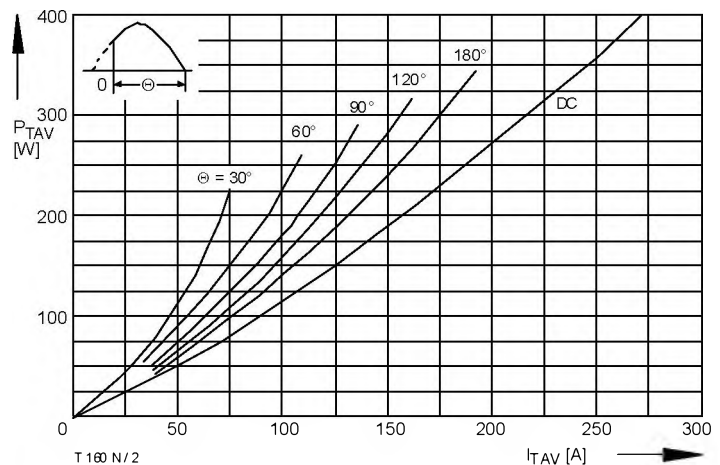


Bild / Fig. 2

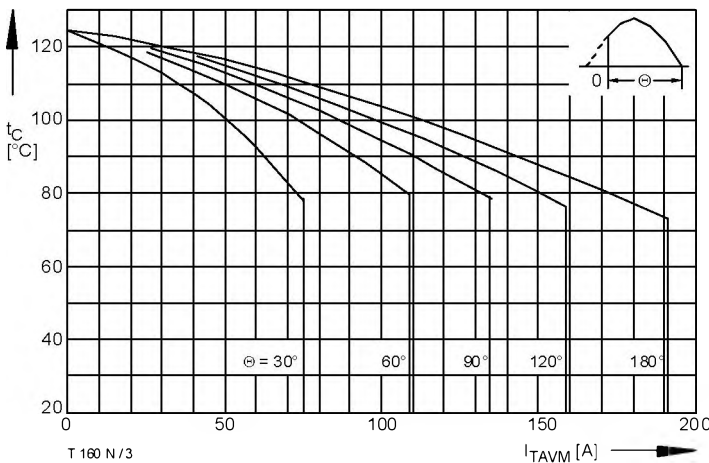
Durchlaßverlustleistung / On-state power loss $P_{TAV} = f(I_{TAV})$ Parameter Stromflußwinkel / Current conduction angle θ 

Bild / Fig. 3

Hochstzulässige Gehäusetemperatur / Max. allowable case temperature

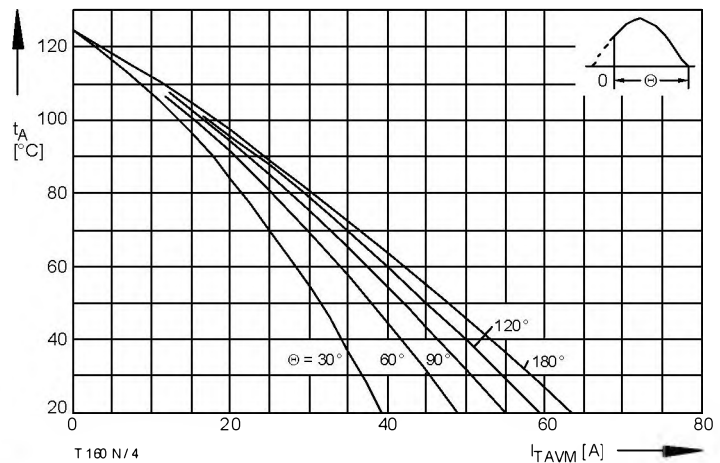
 $t_C = f(I_{TAVM})$ Parameter Stromflußwinkel / Current conduction angle θ 

Bild / Fig. 4

Hochstzulässige Kühlmitteltemperatur / Max. allowable cooling medium

temperatur $t_A = f(I_{TAVM})$

Luftsebkühlung / Natural air-cooling

Kühlkörper / Heatsink K 1.1-M12-A

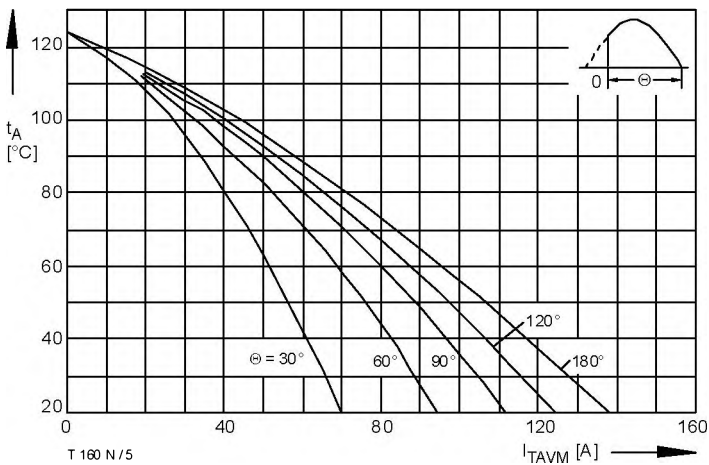
Parameter Stromflußwinkel / Current conduction angle θ 

Bild / Fig. 5

Hochstzulässige Kühlmitteltemperatur / Max. allowable cooling medium

temperatur $t_A = f(I_{TAVM})$

Verstärkte Luftkühlung / forced air cooling

Kühlkörper / Heatsink K 1.1-M12-A, $V_L = 30 \text{ l/s}$ Parameter Stromflußwinkel / Current conduction angle θ

T 160 N

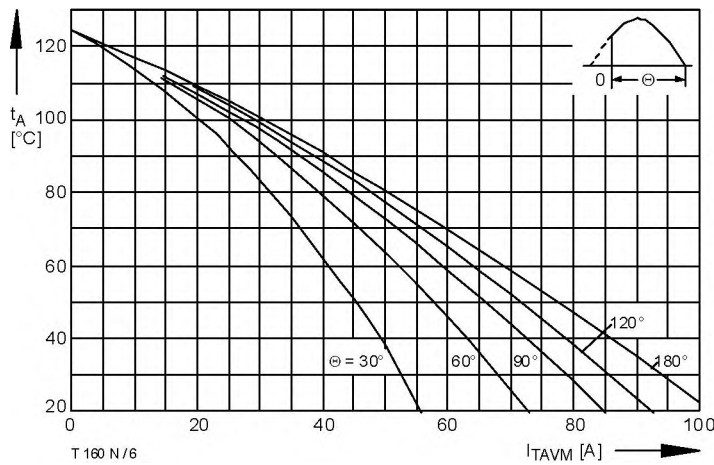


Bild / Fig. 6

Hochzulässige Kuhlmitteltemperatur / Max. allowable cooling medium
temperatur $t_A = f(I_{TAVM})$
Luftselbstkühlung / Natural air-cooling
Kuhlkörper / Heatsink K0 55-M12-A
Parameter Stromflußwinkel / Current conduction angle θ

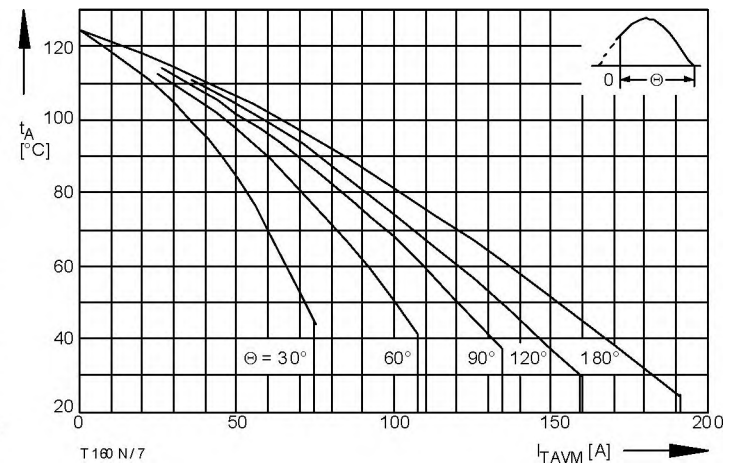


Bild / Fig. 7

Hochzulässige Kuhlmitteltemperatur / Max. allowable cooling medium
temperatur $t_A = f(I_{TAVM})$
Verstärkte Luftkühlung / Forced air cooling
Kuhlkörper / Heatsink K0 55-M12-A, $V_L = 50$ l/s
Parameter Stromflußwinkel / Current conduction angle θ

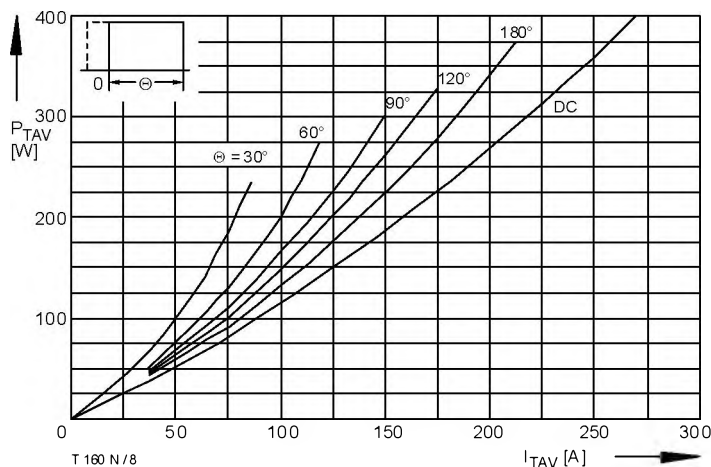


Bild / Fig. 8

Durchlaßverlustleistung / On-state power loss $P_{TAV} = f(I_{TAV})$
Parameter Stromflußwinkel / Current conduction angle θ

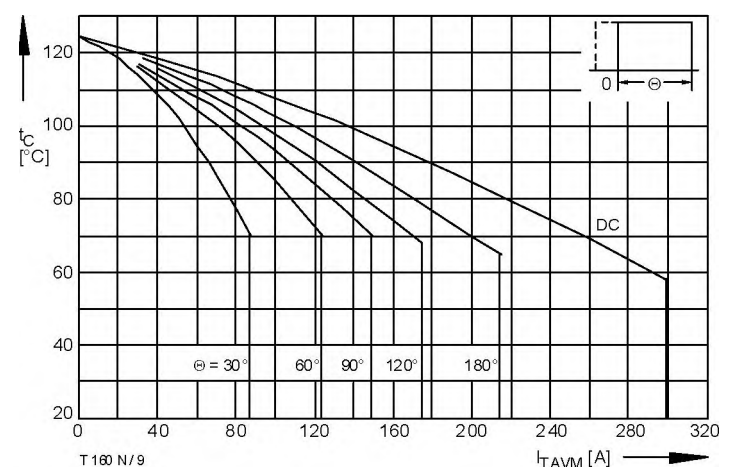


Bild / Fig. 9

Hochzulässige Gehäusetemperatur / Max. allowable case temperature
 $t_C = f(I_{TAVM})$
Parameter Stromflußwinkel / Current conduction angle θ

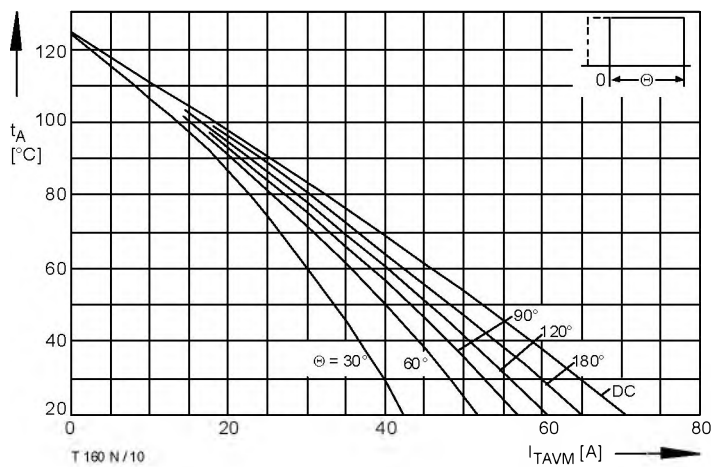


Bild / Fig. 10

Hochzulässige Kuhlmitteltemperatur / Max. allowable cooling medium
temperatur $t_A = f(I_{TAVM})$
Luftselbstkühlung / Natural air-cooling
Kuhlkörper / Heatsink K1.1-M12-A
Parameter Stromflußwinkel / Current conduction angle θ

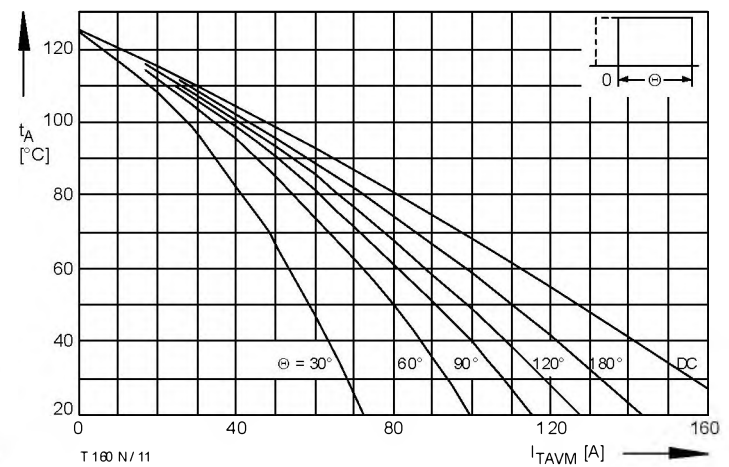


Bild / Fig. 11

Hochzulässige Kuhlmitteltemperatur / Max. allowable cooling medium
temperatur $t_A = f(I_{TAVM})$
Verstärkte Luftkühlung / forced air cooling
Kuhlkörper / Heatsink K1.1-M12-A, $V_L = 30$ l/s
Parameter Stromflußwinkel / Current conduction angle θ

T 160 N

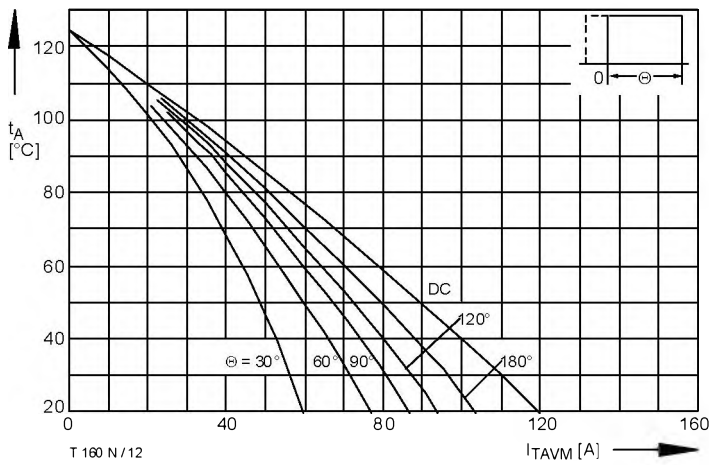


Bild / Fig. 12

Hochstzulässige Kuhlmitteltemperatur / Max. allowable cooling medium
temperatur $t_A = f(I_{TAVM})$
Luftselbstkühlung / Natural air-cooling
Kuhlkörper / Heatsink K0 55-M12-A
Parameter Stromflußwinkel / Current conduction angle θ

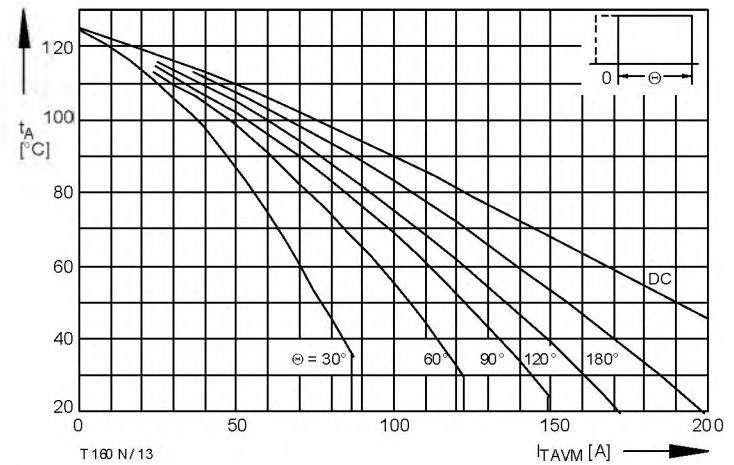


Bild / Fig. 13

Hochstzulässige Kuhlmitteltemperatur / Max. allowable cooling medium
temperatur $t_A = f(I_{TAVM})$
Verstärkte Luftkühlung / Forced air-cooling,
Kuhlkörper / Heatsink K0 55-M12-A, $V_L = 50 \text{ l/s}$
Parameter Stromflußwinkel / Current conduction angle θ

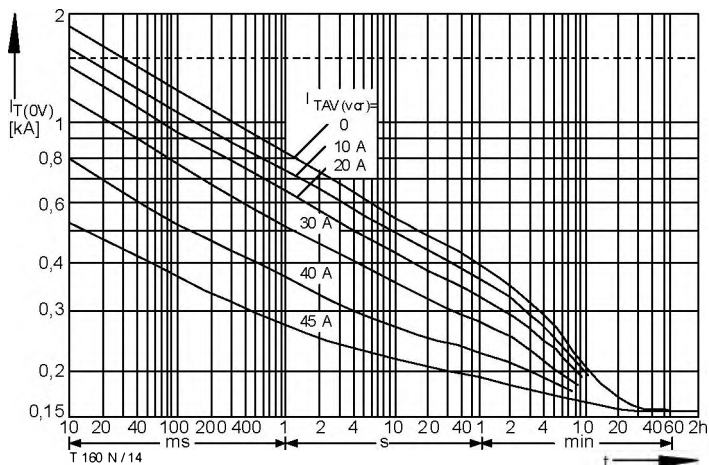


Bild / Fig. 14

Überstrom / Overload on-state current $I_{T(OV)} = f(t)$
Luftselbstkühlung / Natural air-cooling, $t_A = 45^\circ\text{C}$
Kuhlkörper / Heatsink K0 11-M12-A
Parameter: Vorlaststrom / Pre-load current $I_{TAV(vor)}$

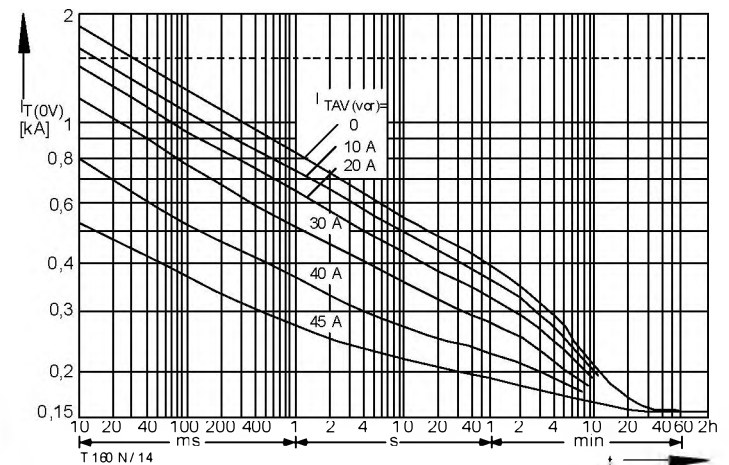


Bild / Fig. 15

Überstrom / Overload on-state current $I_{T(OV)} = f(t)$
Verstärkte Luftkühlung / Forced air-cooling, $t_A = 35^\circ\text{C}$
Kuhlkörper / Heatsink K0 11-M12-A, $V_L = 30 \text{ l/s}$
Parameter: Vorlaststrom / Pre-load current $I_{TAV(vor)}$

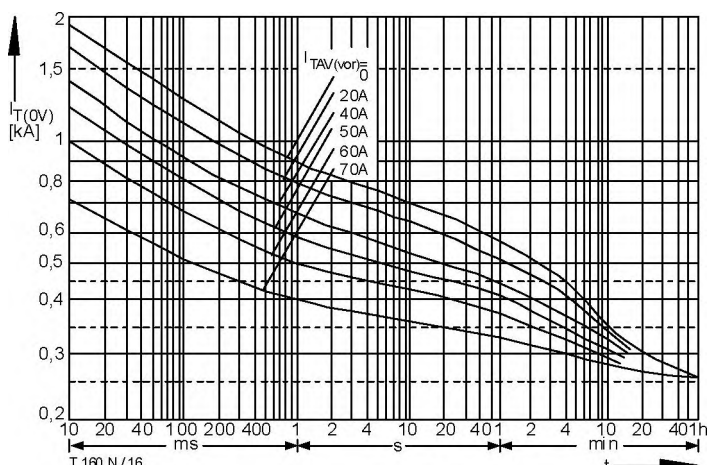


Bild / Fig. 16

Überstrom / Overload on-state current $I_{T(OV)} = f(t)$
Luftselbstkühlung / Natural air-cooling, $t_A = 45^\circ\text{C}$
Kuhlkörper / Heatsink K0 55-M12-A
Parameter: Vorlaststrom / Pre-load current $I_{TAV(vor)}$

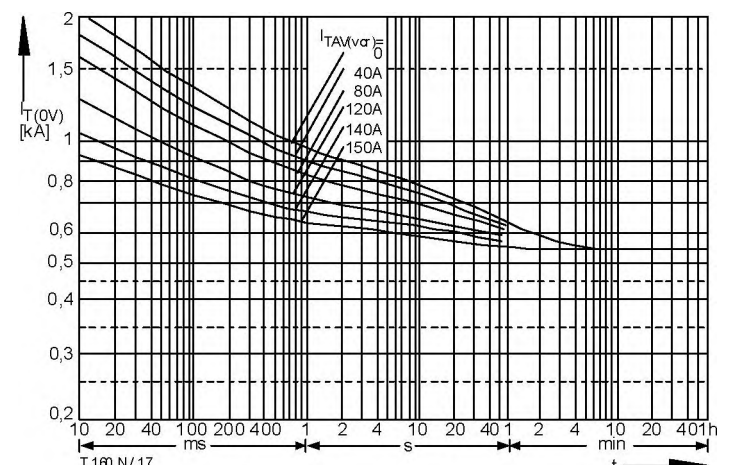


Bild / Fig. 15

Überstrom / Overload on-state current $I_{T(OV)} = f(t)$
Verstärkte Luftkühlung / Forced air-cooling, $t_A = 35^\circ\text{C}$
Kuhlkörper / Heatsink K0 55-M12-A, $V_L = 50 \text{ l/s}$
Parameter: Vorlaststrom / Pre-load current $I_{TAV(vor)}$

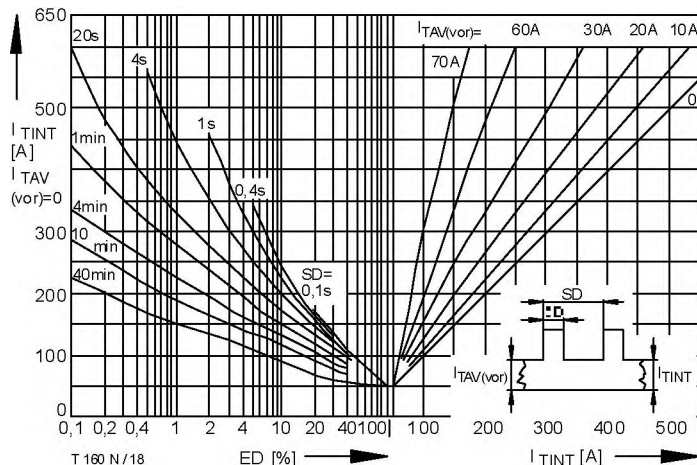


Bild / Fig. 18

Hochstzulässiger Durchlaßstrom bei Aussetzbetrieb / Max. allowable on-state current at intermittent operation $I_{TINT} = f(ED)$
Luftselbstkühlung / Natural air-cooling, $t_A = 45^\circ C$
Kuhlkörper / Heatsink K1.1-M12-A
Parameter: Spieldauer / Cycle duration SD
Vorlaststrom / Pre-load current $I_{TAV(vor)}$

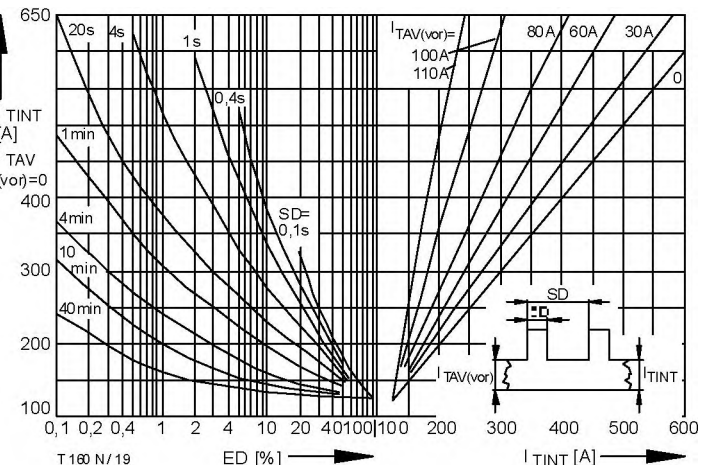


Bild / Fig. 19

Hochstzulässiger Durchlaßstrom bei Aussetzbetrieb / Max. allowable on-state current at intermittent operation $I_{TINT} = f(ED)$
Verstärkte Luftkühlung / Forced air-cooling, $t_A = 35^\circ C$, $V_L = 30 l/s$
Kuhlkörper / Heatsink K1.1-M12-A
Parameter: Spieldauer / Cycle duration SD
Vorlaststrom / Pre-load current $I_{TAV(vor)}$

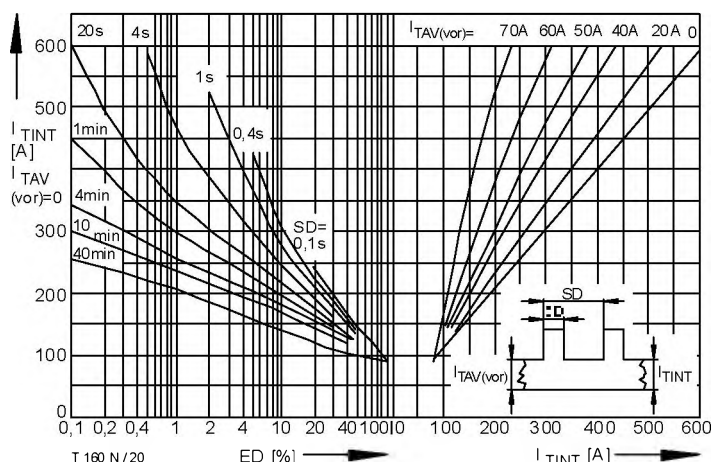


Bild / Fig. 20

Hochstzulässiger Durchlaßstrom bei Aussetzbetrieb / Max. allowable on-state current at intermittent operation $I_{TINT} = f(ED)$
Luftselbstkühlung / Natural air-cooling, $t_A = 45^\circ C$
Kuhlkörper / Heatsink K0.55-FB54-A
Parameter: Spieldauer / Cycle duration SD
Vorlaststrom / Pre-load current $I_{TAV(vor)}$

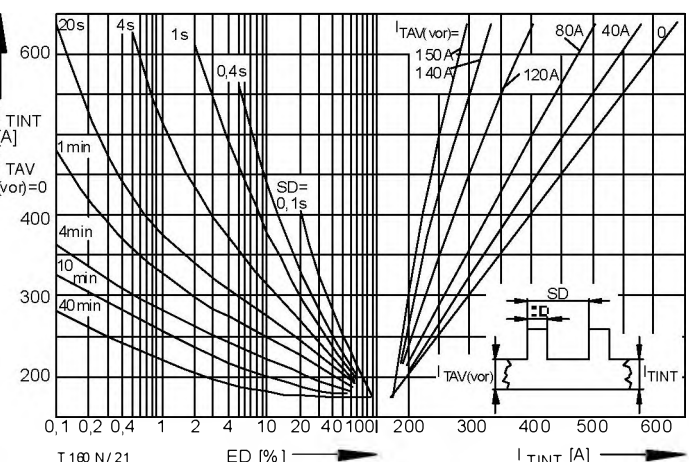


Bild / Fig. 21

Hochstzulässiger Durchlaßstrom bei Aussetzbetrieb / Max. allowable on-state current at intermittent operation $I_{TINT} = f(ED)$
Verstärkte Luftkühlung / Forced air-cooling, $t_A = 35^\circ C$, $V_L = 50 l/s$
Kuhlkörper / Heatsink K0.55-M12-A
Parameter: Spieldauer / Cycle duration SD
Vorlaststrom / Pre-load current $I_{TAV(vor)}$

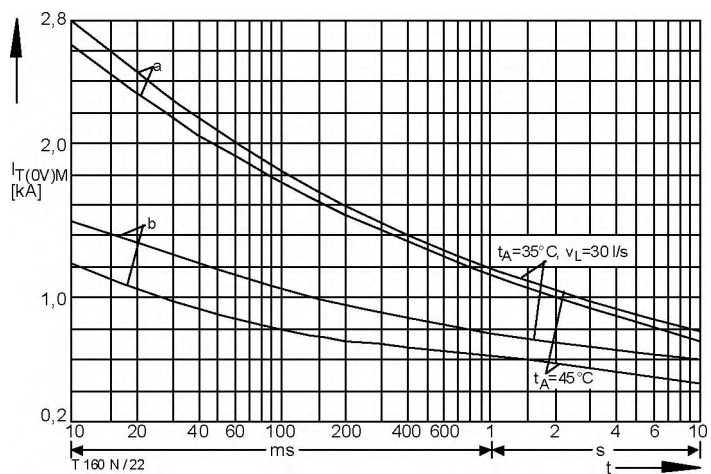


Bild / Fig. 22

Grenzstrom / Max. overload on-state current $I_{T(OV)M} = f(t)$, $V_{RM} = 0.8 V_{RRM}$
----- Luftselbstkühlung / Natural air-cooling, $t_A = 45^\circ C$
Verstärkte Luftkühlung / Forced air-cooling, $t_A = 35^\circ C$, $V_L = 50 l/s$
Kuhlkörper / Heatsink K1.1-M12-A
Belastung aus / Surge current occurs:
a - Leerlauf / No-load conditions
b - Betrieb mit Dauergrenzstrom / During operation at max. average on-state current I_{TAVM}

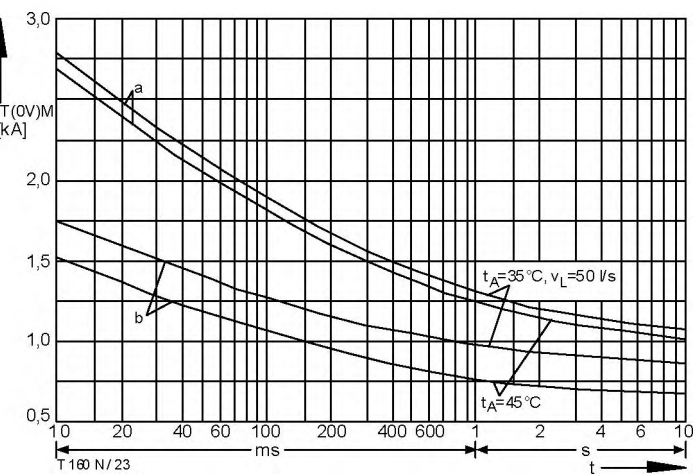


Bild / Fig. 23

Grenzstrom / Max. overload on-state current $I_{T(OV)M} = f(t)$, $V_{RM} = 0.8 V_{RRM}$
----- Luftselbstkühlung / Natural air-cooling, $t_A = 45^\circ C$
Verstärkte Luftkühlung / Forced air-cooling, $t_A = 35^\circ C$, $V_L = 50 l/s$
Kuhlkörper / Heatsink K0.55-FB54-A
Belastung aus / Surge current occurs:
a - Leerlauf / No-load conditions
b - Betrieb mit Dauergrenzstrom / During operation at max. average on-state current I_{TAVM}

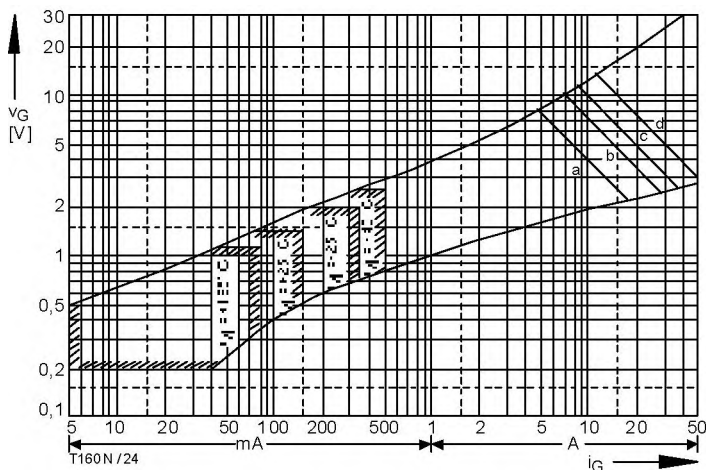


Bild / Fig. 24

Steuercharakteristik mit Zündbereichen / Gate characteristic with triggering areas $v_G = f(i_G)$, $V_D = 6 \text{ V}$

Parameter: a b c d

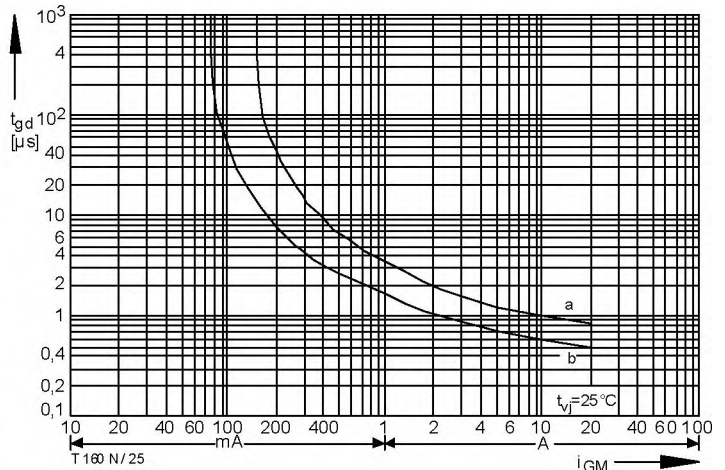
Steuerimpulsdauer / trigger pulse duration t_g [ms] 10 1 0,5 0,1Hochstzulässige Spitzesteuerverlustleistung / Max. rated peak gate power dissipation $[W]$ 40 80 100 150

Bild / Fig. 25

Zündverzug / Gate controlled delay time $t_{gd} = f(i_{GM})$ $t_{vj} = 25 \text{ } ^\circ\text{C}, \frac{di_G}{dt} = i_{GM}/1 \mu\text{s}$

a - Maximaler Verlauf / Limiting characteristic

b - Typischer Verlauf / Typical characteristic

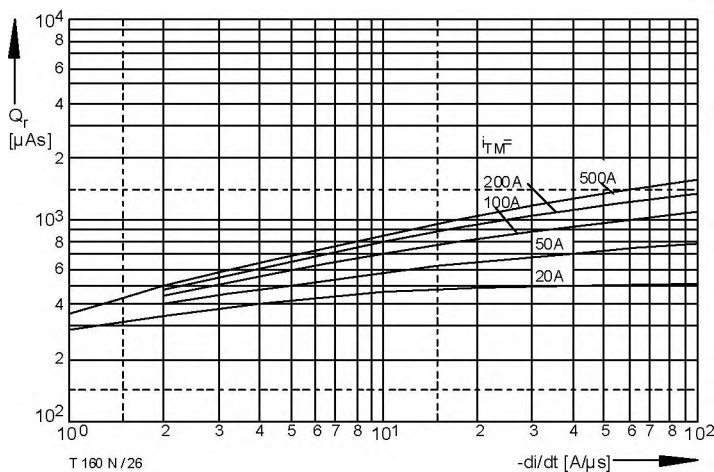


Bild / Fig. 26

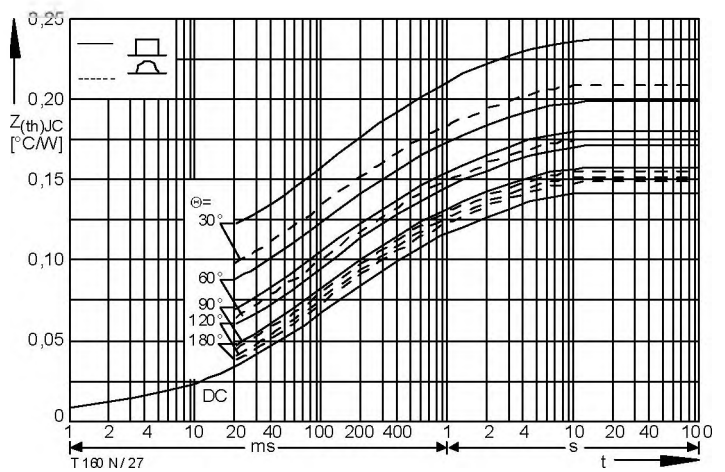
Sperrverzogerungsladung / Recovered charge $Q_r = f(\frac{di}{dt})$ $t_{vj} = t_{vj \text{ max}}, V_R = 0,5 \text{ V}_{RRM}, V_{RM} = 0,8 \text{ V}_{RRM}$ Parameter: Durchlaßstrom / On-state current i_{TM} 

Bild / Fig. 27

Transienter innerer Warmewiderstand / Transient thermal impedance $Z_{thJC} = f(t)$ Z_{thJC} Parameter: Stromflußwinkel / current conduction angle θ Analytische Elemente des transinten Wärmeleitwiderstandes Z_{thJC} pro Zweig für DC
Analytical elements of transient thermal impedance Z_{thJC} per arm for DC

Pos. n	1	2	3	4	5	6	7
$R_{thn} [\text{°C/W}]$	0,00832	0,0243	0,0373	0,037	0,0353		
$\tau_n [\text{s}]$	0,00089	0,0171	0,0905	0,413	2,16		

Analytische Funktion / Analytical function

$$Z_{thJC} = \sum_{n=1}^{n_{\max}} R_{thn} (1 - e^{-\frac{t}{\tau_n}})$$